

北海道電力 正会員 石崎嘉明

電力中央研究所 正 江刺清行

同 上 吉田保夫

1 まえがき 水深約10mの海底に深さ約3mの溝を掘り 大口径の冷却用取水管を埋設した後に最大18m厚さの埋立造盛地盤を作成計画がある。埋立しか海中施工によるため鋸回り作業が困難であるためや 管底部への土砂の回り込み不足の懸念など施工上の制約があることで、現行設計法を用いたに当たて適用上の問題点を明確にし、管の安全性を確かめることため、実物管の寸法の管の水中埋設し実験および鉛直載荷実験を行なった。

2 実験方法 図-3に示す鋼製土槽内に支持地盤を作り 管を設置した後に水を満し、現場の作業を模擬して水面上2mから土砂を水中へ投下して埋設を行なった。支持地盤と埋立地盤の組合せは図-1に示す5つの条件とした。水面上で埋立した後には地中水位と上下の影響を調べるために、管頂との間で離し水位を上下させた。Case 4終了後鉛直載荷を行ない強度に対する安全性を調べた。

模型埋設管(直径1.5m、肉厚12mm、長さ2m)および地盤中には図-2、3に示す位置に各種の計器を設置し測定を行なった。これらの実験結果から、水中投下して埋設した材(表-1参照)の拘性「埋差し工の深さと鉛直土圧」「有効側土圧係数」などについては文献(1)を鉛直載荷については文献(2)を参考して以下として、以下に主な結果について述べる。

3 実験結果 1) 土圧分布； 図-4に示すように管頂ではほぼ平らな長方形に近い土圧分布を示した。管底では支持層の厚さが薄いCase 1~3で底面に著しい土圧の集中を生じたが、支持層が厚いCase 4,5では底面付近に若干集中する傾向が認められたにすぎず、支持層の範囲は180°ほど長方形分布を示した。Case 1~3の底面での土圧の集中は土圧計の取付状態にも影響されるとと思われるが、円周応力にも底面での応力集中が認められ

たので土  
槽底板の  
影響が理  
由れたも  
のと思わ  
れる。

側方土  
圧分布は  
長方形と  
円弧( $\theta =$   
 $100^\circ$ )。

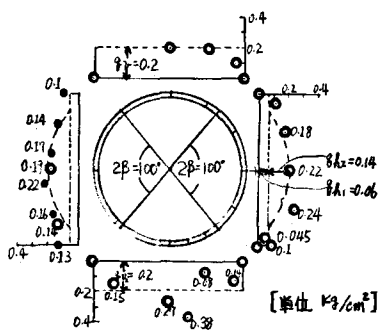


図-4 土圧分布の実験値と解析への適用値  
(CASE 5 埋設直後, 275cm埋没)

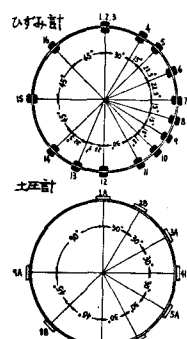


図-2 計器の取付け位置

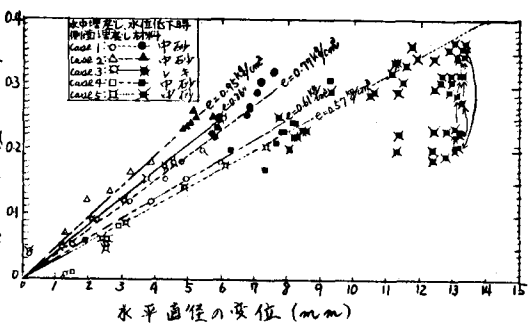


図-3 土槽の形状と計器の配置

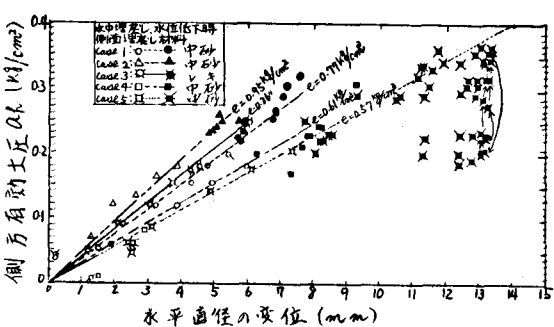


図-5 水平方向の背反性の変化と側方土圧の関係

組合せた分布形を示し、従来のたわみ性管(延移線分布)と不慣性管(直角形分布)の側方土圧分布を組合せたものに近い分布となつた。この点は別に報告する<sup>3)</sup>数値解析の結果とは一貫する形状であった。

2) 側方土圧係数と埋戻し材: 図-5に示すように埋戻し材にレキを用いた効果は明言できないが、砂で埋戻した場合の上限値を示しておるので、さらに良好な配合の埋戻し材を用いれば明確な効果は期待できるものと思われる。実験の結果水半砂の側方土圧係数として約0.5 kg/cm<sup>2</sup>は期待できることか示された。

3) 管の変形; 実験によって得られた鉛直土圧と側方土圧係数を用いて Spangler の変形式で求めた管の変形と実測変形量との相関性は、図-6 に示すように計算値が実測値の 2~5 倍増の値を示す。しかし次に述べる地中水の変動による管経変化を合せて考えると、最終的には実測値に近い値を示すことが判った。

4) 地下水位の上下の影響; 地中水位を上下させると 図-7 に示されるように、最大土圧は第1回水位低下時とほとんど変らないのに、管の変形と応力が次第に増加し鉛直方向の直徑の変化は 1.5 倍に、底力は最大で 1.3 倍に達することが示された。

この場合の側方土圧と変位の関係は図-5 に、また円周方向応力の変化は図-8 に示す通りである。これらは管と地盤が水位の変動に伴なつて鉛直変形を生ずることを示しておき、設計応力面での諸度や埋戻し土の締固めの必要性を示唆している。

埋戻し材に砂を用いた今回の実験では 3 回目の水位の上下でこの強制変形と伴なつて管筋はほとんど終了した。

5) 円周応力分布; 管の土圧分布形状の組合せについて又元円環理論によつて応力分布の計算を行ない実験値との整合を行なつたが、別報の FEM による解析結果を参考にして求めた図-8 に示す土圧分布が、図-9 に示すように実測応力と最も良い一致を示し、又口徑水半埋設管の応力計算に必要な土圧分布の形狀に示唆が得られた。

#### 参考文献

